

I-B24

矩形柱の流力特性に及ぼすレイノルズ数の影響

金沢大学大学院自然科学研究科

正会員

○岡島 厚

同上

正会員

大津山 澄明

同上

片山 輝明

同上

尾島 錄

1. 緒言

一様流中に置かれた矩形柱周りの流れについては、矩形柱特有の空力特性を有することもあり、数多くの研究が成されてきた。中口らは矩形柱の抗力に及ぼす断面比 B/H の影響を調べ、抗力、背圧係数が $B/H=0.6$ 付近で極端に大きくなる中口ピークと呼ばれる現象を見出した。その後この現象についても種々な研究が成されてきたが、いずれも高いレイノルズ数 (Re 数) を対象としたもので、比較的低い Re 数域の挙動についてはほとんど知られていない。そこで本研究では、低い Re 数域を含む広い Re 数範囲において、断面比 0.6 の場合を中心とし断面比を $B/H=0.4 \sim 1.0$ の範囲で変え、矩形柱の流力特性、特に抗力係数と関係の深い背圧係数に及ぼす Re 数の影響を風洞実験によって明らかにした。

2. 実験装置及び方法

2.1 風洞装置 実験は、エッフェル型風洞装置(断面寸法: $300 \times 1200\text{mm}$) 及びゲッチンゲン型風洞装置(断面寸法: $167 \times 400\text{mm}$) で行い、一様流速 U を $2 \sim 30\text{m/s}$ の範囲で変えた。

2.2 供試模型 供試模型は黄銅またはアクリル製で、製作の際に出来るだけ角を鋭くし、表面は滑らかにした。また幅広い Re 数範囲の実験データを得るために、供試模型の前面辺長さ H を $3 \sim 18\text{mm}$ で変えた。背圧を測定するために、それぞれの模型背面に直径 $\phi 1.2\text{mm}$ の静圧孔を設けた。実験は図1に示す概略図のように、圧力は導管を通じ、スキャニバルブを介して差圧変換器に導き、パソコンコンピュータで解析した。なお、 Re 数、背圧係数 $-C_{pb}$ はそれぞれ $Re = UH/\nu$ (ν は空気の動粘性係数), $C_{pb} = (p_b - p_\infty)/p_d$ (p_b は背圧, p_∞ は一様流の静圧, p_d は一様流の動圧) である。

3. 結果及び考察

3.1 $-C_{pb}$ の変化 図2に、 $B/H=0.4, 0.65, 0.8, 1.0$ の角柱の各断面比をパラメータとして $-C_{pb}$ 値の Re 数に対する変化を示す。

(1) $B/H=0.65$ の場合: $B/H=0.65$ の $-C_{pb}$ 値は他の断面比の模型に比べ、最も高い値を示している。またこの場合、模型の大きさによって $-C_{pb}$ 値は異なり、(a) $H=3\text{mm}$ では高い値を、(b) $H=6.8\text{mm}$, (c) 18mm では低い値を示している。そこで、具体的な例として(c) $H=18\text{mm}$ 模型で異なる Re 数の $-C_{pb}$ の時経的変化を図3に示す。また図4(a), (b)には、図3(a), (b)それぞれの場合の度数分布を示す。図から、背圧には2種類の流れパターンモードが存在する。1つは、渦形成領域が模型背面に近づき(タンデム型ホット・ワイヤー法による測定で確認)、背圧係数が低い低圧モード、そしてもう1つは渦形成領域が模型背面から離れ、背圧係数が回復する高圧モードで

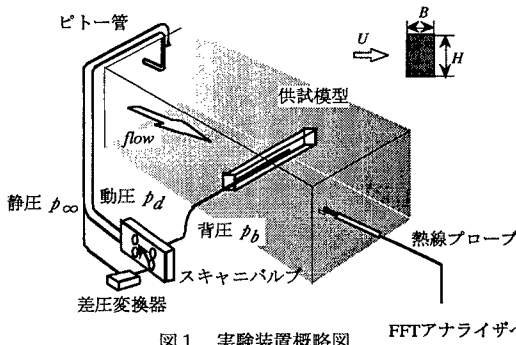
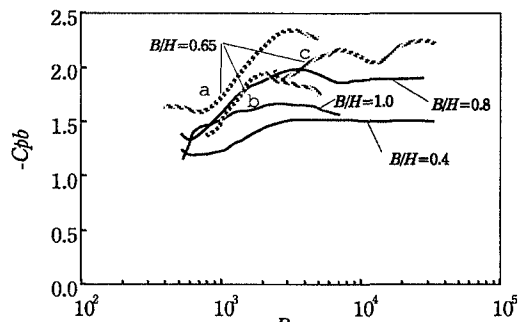


図1 実験装置概略図 FFTアナライザへ

図2 Re 数に対する背圧係数の変化

矩形柱、レイノルズ数、背圧係数、ストロハル数、断面比、中口ピーク

〒920 石川県金沢市小立野2-40-20 金沢大学大学院自然科学研究科 TEL 0762-34-4748 FAX 0762-34-4746

あり、図3のように背圧は高圧値と低圧値の間を断続的に変化する。この場合、図4の度数分布からも分かるように(a) $Re=5.1 \times 10^3$ では高圧モードが卓越し、(b) $Re=1.3 \times 10^4$ では高圧・低圧の2つのモードが同程度に現れる。

(3) $B/H=0.8$ の場合: Re 数の増加とともに $-Cpb$ 値も増加し、 $Re=3.0 \times 10^3$ 付近で最大値を取り、その後ほぼ一定となる。また $B/H=0.65$ の様な大きなモード変化は認められない。

(4) $B/H=1.0$ の場合: $-Cpb$ 値は Re 数の増加とともに漸増し、 $Re=2.5 \times 10^3$ 付近で最大値を取り。また $B/H=0.8$ の場合と同様に、モード変化は認められない。

3.2 -Cpb値のピーク 図4に示したような度数分布におけるピークの圧力を背圧係数ピーク($-Cpb_p$)とし、図5, 6, 7には $B/H=0.4$, 0.6, 0.7のそれぞれの($-Cpb_p$)の Re 数に対する変化を示す。

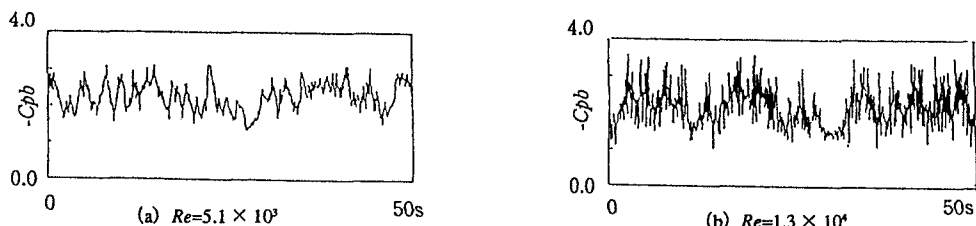
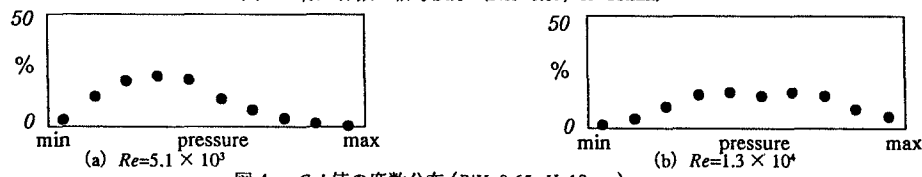
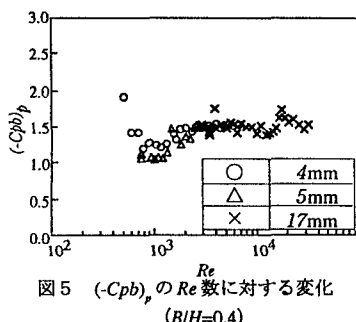
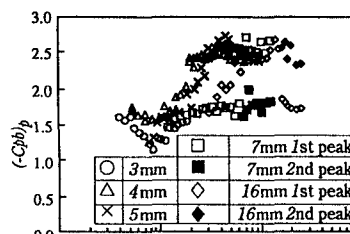
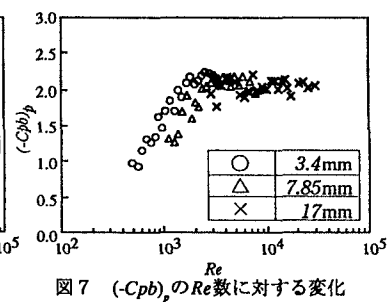
(1) $B/H=0.4$ の場合: Re 数の増加とともに($-Cpb_p$)は増加し、 $Re=(0.2 \sim 1.0) \times 10^4$ でほぼ一定となった後、 $Re=1.7 \times 10^4$ 付近で最大値を取り。またモード変化はほとんど認められず、模型による大きな値の変化はない。

(2) $B/H=0.6$ の場合: 3.1(1) $B/H=0.65$ の場合と同様、背圧はモード変化する。これは H の大きさに及び経時に $-Cpb$ 値が異なるためである。 $H=3\text{mm}$ の模型では、低 Re 数域において低圧モードが支配的で、 $Re=600$ で高圧モードが卓越し、 $H=4\text{mm}$ では、 $Re=500 \sim 700$ で低圧モード、その後高圧モードとなり、 $Re=1.5 \times 10^3$ 付近で再度低圧モードに変化する。一方、 $H=7\text{mm}$ の模型においては、 $Re=(1.0 \sim 4.0) \times 10^3$ で高圧モードとなった後2ndピークを生じ、 $Re=7.0 \times 10^3$ で1stピークと2ndピークが入れ替わり、1stピークは高圧モード、2ndピークは低圧モードである。さらに、 $H=16.5\text{mm}$ では $Re=(3.7 \sim 5.6) \times 10^3$ で高圧モード、その後低圧モードが卓越し、 $Re=1.7 \times 10^4$ で1stピークが高圧モードに、2ndピークが低圧モードになる。このように $B/H=0.6$ の模型においても、高圧・低圧の背圧係数を示す2つのモードが、模型の大きさや経時に変化する。

(3) $B/H=0.7$ の場合: ($-Cpb_p$)は Re 数の増加とともに急増していくが、その後ほぼ一定となり、 $Re=(1.0 \sim 4.0) \times 10^3$ の比較的狭い Re 数域で、高・低2つのモードの背圧変化が現れる。

4. 結言

背圧係数 $-Cpb$ は Re 数に強く依存して変わり、特に断面比0.6~0.7矩形柱では $-Cpb$ 値が2つのモードを持ち、経時に低圧モードと高圧モードの間を変化する。

図3 背圧係数の信号波形($B/H=0.65$, $H=18\text{mm}$)図4 - Cpb 値の度数分布($B/H=0.65$, $H=18\text{mm}$)図5 ($-Cpb_p$)の Re 数に対する変化
($B/H=0.4$)図6 ($-Cpb_p$)の Re 数に対する変化
($B/H=0.6$)図7 ($-Cpb_p$)の Re 数に対する変化
($B/H=0.7$)